

Starkniederschlagshöhen und -spenden gemäß KOSTRA-DWD-2010R

Auswertungszeitraum von 1951 - 2010, Januar - Dezember

Rasterfeld: 53007

Zeile: 53

Spalte: 7

Seite: 1/2

| Dauerstufe D | Wiederkehrzeit T | | | | | | | | | | | | | | | | | | |
|--------------|------------------|------|------------|------|------------|------|------------|------|------------|------|------------|------|------------|------|------------|------|------------|------|------------|
| | 1 a | | 2 a | | 3 a | | 5 a | | 10 a | | 20 a | | 30 a | | 50 a | | 100 a | | |
| min | Std | mm | l / (s ha) | mm | l / (s ha) | mm | l / (s ha) | mm | l / (s ha) | mm | l / (s ha) | mm | l / (s ha) | mm | l / (s ha) | mm | l / (s ha) | mm | l / (s ha) |
| 5 | | 4,8 | 160,0 | 6,3 | 210,0 | 7,1 | 236,7 | 8,2 | 273,3 | 9,7 | 323,3 | 11,2 | 373,3 | 12,1 | 403,3 | 13,2 | 440,0 | 14,7 | 490,0 |
| 10 | | 7,6 | 126,7 | 9,7 | 161,7 | 10,9 | 181,7 | 12,4 | 206,7 | 14,5 | 241,7 | 16,5 | 275,0 | 17,7 | 295,0 | 19,3 | 321,7 | 21,3 | 355,0 |
| 15 | | 9,5 | 105,6 | 12,0 | 133,3 | 13,5 | 150,0 | 15,3 | 170,0 | 17,8 | 197,8 | 20,3 | 225,6 | 21,8 | 242,2 | 23,6 | 262,2 | 26,1 | 290,0 |
| 20 | | 10,8 | 90,0 | 13,7 | 114,2 | 15,4 | 128,3 | 17,5 | 145,8 | 20,3 | 169,2 | 23,2 | 193,3 | 24,9 | 207,5 | 27,0 | 225,0 | 29,8 | 248,3 |
| 30 | | 12,6 | 70,0 | 16,1 | 89,4 | 18,1 | 100,6 | 20,7 | 115,0 | 24,1 | 133,9 | 27,6 | 153,3 | 29,6 | 164,4 | 32,2 | 178,9 | 35,6 | 197,8 |
| 45 | | 14,2 | 52,6 | 18,4 | 68,1 | 20,8 | 77,0 | 23,9 | 88,5 | 28,1 | 104,1 | 32,3 | 119,6 | 34,7 | 128,5 | 37,8 | 140,0 | 42,0 | 155,6 |
| 60 | | 15,1 | 41,9 | 19,9 | 55,3 | 22,7 | 63,1 | 26,2 | 72,8 | 31,0 | 86,1 | 35,9 | 99,7 | 38,7 | 107,5 | 42,2 | 117,2 | 47,0 | 130,6 |
| 90 | | 16,5 | 30,6 | 21,6 | 40,0 | 24,5 | 45,4 | 28,3 | 52,4 | 33,3 | 61,7 | 38,4 | 71,1 | 41,4 | 76,7 | 45,1 | 83,5 | 50,2 | 93,0 |
| 120 | 2 | 17,6 | 24,4 | 22,8 | 31,7 | 25,9 | 36,0 | 29,8 | 41,4 | 35,1 | 48,8 | 40,3 | 56,0 | 43,4 | 60,3 | 47,3 | 65,7 | 52,6 | 73,1 |
| 180 | 3 | 19,2 | 17,8 | 24,8 | 23,0 | 28,0 | 25,9 | 32,1 | 29,7 | 37,7 | 34,9 | 43,2 | 40,0 | 46,5 | 43,1 | 50,6 | 46,9 | 56,2 | 52,0 |
| 240 | 4 | 20,4 | 14,2 | 26,2 | 18,2 | 29,6 | 20,6 | 33,9 | 23,5 | 39,6 | 27,5 | 45,4 | 31,5 | 48,8 | 33,9 | 53,1 | 36,9 | 58,9 | 40,9 |
| 360 | 6 | 22,3 | 10,3 | 28,4 | 13,1 | 32,0 | 14,8 | 36,5 | 16,9 | 42,6 | 19,7 | 48,7 | 22,5 | 52,3 | 24,2 | 56,8 | 26,3 | 62,9 | 29,1 |
| 540 | 9 | 24,4 | 7,5 | 30,8 | 9,5 | 34,6 | 10,7 | 39,4 | 12,2 | 45,8 | 14,1 | 52,3 | 16,1 | 56,0 | 17,3 | 60,8 | 18,8 | 67,2 | 20,7 |
| 720 | 12 | 26,0 | 6,0 | 32,7 | 7,6 | 36,6 | 8,5 | 41,5 | 9,6 | 48,2 | 11,2 | 54,9 | 12,7 | 58,9 | 13,6 | 63,8 | 14,8 | 70,5 | 16,3 |
| 1080 | 18 | 28,4 | 4,4 | 35,4 | 5,5 | 39,6 | 6,1 | 44,8 | 6,9 | 51,9 | 8,0 | 59,0 | 9,1 | 63,1 | 9,7 | 68,3 | 10,5 | 75,4 | 11,6 |
| 1440 | 24 | 30,2 | 3,5 | 37,6 | 4,4 | 41,9 | 4,8 | 47,3 | 5,5 | 54,6 | 6,3 | 62,0 | 7,2 | 66,3 | 7,7 | 71,7 | 8,3 | 79,1 | 9,2 |
| 2880 | 48 | 38,0 | 2,2 | 45,9 | 2,7 | 50,6 | 2,9 | 56,4 | 3,3 | 64,4 | 3,7 | 72,3 | 4,2 | 77,0 | 4,5 | 82,8 | 4,8 | 90,8 | 5,3 |
| 4320 | 72 | 43,4 | 1,7 | 51,7 | 2,0 | 56,5 | 2,2 | 62,7 | 2,4 | 71,0 | 2,7 | 79,2 | 3,1 | 84,1 | 3,2 | 90,2 | 3,5 | 98,5 | 3,8 |

Angaben in mm: Bemessungsniederschlagswerte h(n)

Angaben in l / (s ha): Regenspende R(n) mit $R(n) = h(n) \times 1,666667 / D[\text{min}]$

Toleranzbereiche:

+/- 10 % für $1 a \leq T \leq 5 a$

+/- 15 % für $5 a < T \leq 50 a$

+/- 20 % für $50 a < T \leq 100 a$

Datenbasis: KOSTRA-DWD-2010R des Deutschen Wetterdienstes. Die Regenspende wurde auf Basis des Bemessungsniederschlags zur jeweiligen Andauer berechnet.

Für die Richtigkeit und Aktualität der Angaben wird keine Gewähr übernommen. Erstellt 07/2022.

Starkniederschlagshöhen und -spenden gemäß KOSTRA-DWD-2010R

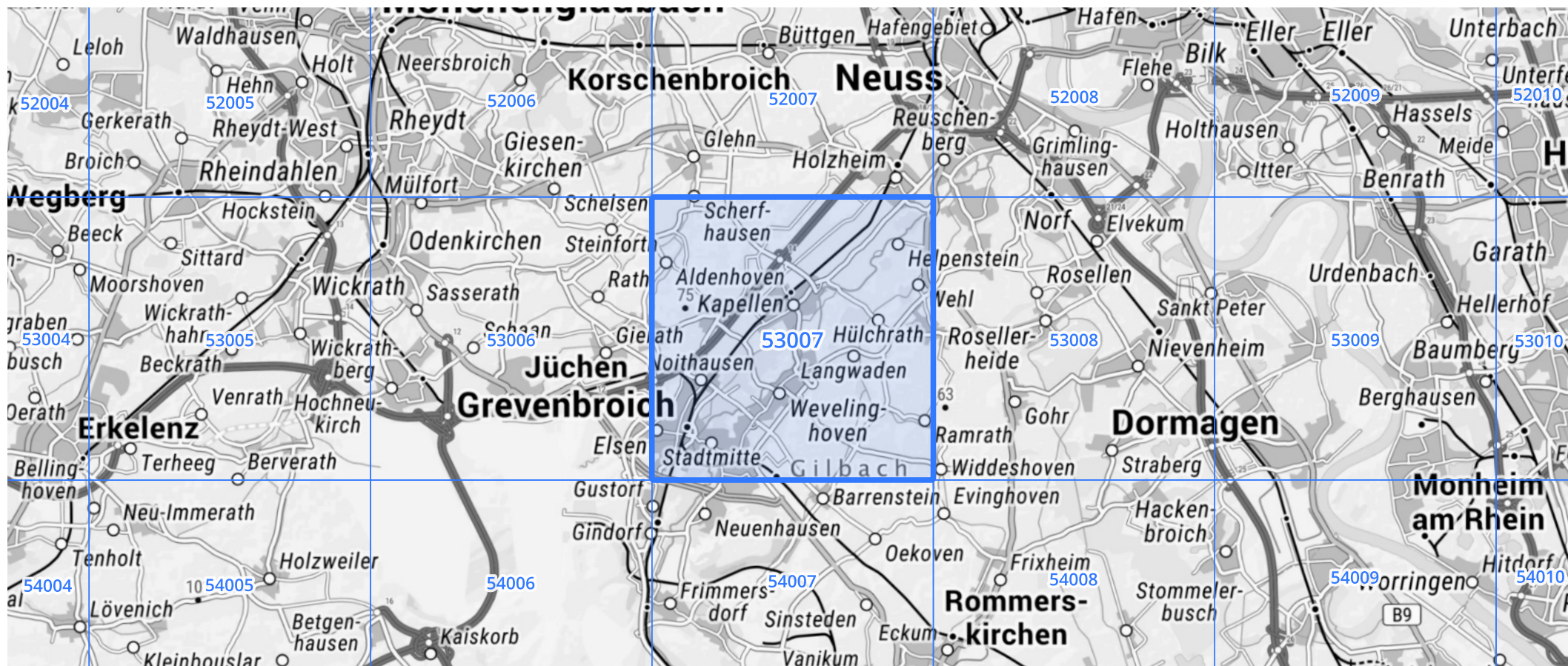
Auswertungszeitraum von 1951 - 2010, Januar - Dezember

Rasterfeld: 53007

Zeile: 53

Spalte: 7

Seite: 2/2



Quelle Rasterdaten: KOSTRA-DWD-2010R des Deutschen Wetterdienstes.

Kartendarstellung: © Bundesamt für Kartographie und Geodäsie (2022), Datenquellen: https://sgx.geodatenzentrum.de/web_public/gdz/datenquellen/Datenquellen_TopPlusOpen.html

Für die Richtigkeit und Aktualität der Angaben wird keine Gewähr übernommen. Erstellt 07/2022.